

электропривода и компьютеризованных СУ на НС подтверждается анализом мирового опыта [3]. Таким образом, задача разработки компьютеризированной СУ насосной станции как ключевой подсистемы СУ водоснабжением в настоящее время является первоочередной.

## SUMMARY

*The functional analysis of the municipal water-supply present day systems structure has been carried out. On this basis tasks of separate subsystems that enters into the control system of the water-supply process have been formed. The necessity of the solution at first the computerized control system design problem is grounded.*

## СПИСОК ЛИТЕРАТУРЫ

1. Евдокимов А.Г., Тевяшев А.Д., Дубровский В.В. Моделирование и оптимизация потокораспределения в инженерных сетях. — М.: Стройиздат, 1990. — 368 с.
2. Турчанинова Л.И., Кулик Ю.В., Михайленко В.М. Вероятностные модели синтеза оптимального управления в многомерных сетевых системах // Электронное моделирование, 1991. — № 5. — С. 99-101.
3. Neue Regelung: Pumpen-Regelvorgange auf LCD-Schirm//Techn.Rpt.1994.—21, № 1.— С. 28.
4. Kranz Hans R. Gebaudefautomation gerade heute wichtig // TGA-Mag., 1997. — 17, № 5. — С. 26-30.
5. Меренков А.П., Хасилев В.Я. Теория гидравлических цепей.—М.: Наука, 1985.— 278 с.
6. Попкович Г.С., Гордеев М.А. Автоматизация систем водоснабжения и водоотведения: Учеб. для вузов. - М.: Выш.шк., 1986. — 392 с.
7. Хоружий П.Д. Расчет гидравлического взаимодействия водопроводных сооружений. - Львов: Вища школа. Изд-во при Львов. ун-те, 1983. — 152 с.
8. Тысиский И.В., Гриценко К.Г., Червяков В.Д. Ресурсосберегающее управление электроприводами насосов системы коммунального водоснабжения // Проблемы автоматизированного электропривода. Теория и практика: Вестник ХГПУ. Специальный выпуск. — Харьков: ХГПУ, 1998. — С. 237-238.
9. Гриценко К.Г., Червяков В.Д. О глобальной цели управления насосной станцией системы водоснабжения // Автоматика. Автоматизация. Электротехнические комплексы и системы. — 1997. — № 1. — С. 180-184.

*Поступила в редакцию 27 ноября 1998 г.*

УДК 681.513.2

## СЕТЕВАЯ МОДЕЛЬ РАБОЧЕГО ЦИКЛА ЛЕТУЧЕЙ ПИЛЫ

*A.A. Паныч, асп.*

Летучие пилы (ЛП) являются широким подклассом в классе рабочих машин - летучих механизмов. Общность конструктивных и технологических признаков и задач управления [1] обуславливает целесообразность создания объектно-ориентированных систем управления (СУО) для подклассов этих механизмов. СУО летучими пилами должна предусматривать функции управления несущим органом (НО), а также дополнительные функции скоординированного управления максимальным набором исполнительных механизмов: НО, механизмами подачи (МП) и вращения (МВ) режущего инструмента (например, фрезы) и механизмом сцепления (МС) НО с движущимся обрабатываемым изделием. Разработку СУО ЛП целесообразно производить для определенного классообразующего (эталонного) летучего механизма, в качестве которого можно использовать ЛП профилегибочной линии. Данная ЛП производит мерный порез профиля, выходящего из последней формующей клети профилегибочной линии. Порез профиля производится без остановки на отрезки мерной длины  $L_m$ . На исполнительском уровне управление механизмами ЛП осуществляют локальные системы управления (ЛСУ).

Рабочий цикл ЛП [1, 2] можно представить в виде иерархической нераскрашенной сети Петри [3], позволяющей отразить очередь и взаимную согласованность имеющих место событий и состояний. Сеть Петри, моделирующая работу ЛП, изображена на рис.1 а, ее дерево отношений - на рис.1б. Все позиции (простые и дублеры) обозначены символами  $p$ , переходы - символами  $t$ . Находящиеся в связке переходы обозначены одинаково. В таблице 1 представлено содержание переходов, в таблице 2 - содержание позиций. Для упрощения модели принято, что режущий инструмент постоянно вращается (что в основном имеет место на существующих реальных объектах).

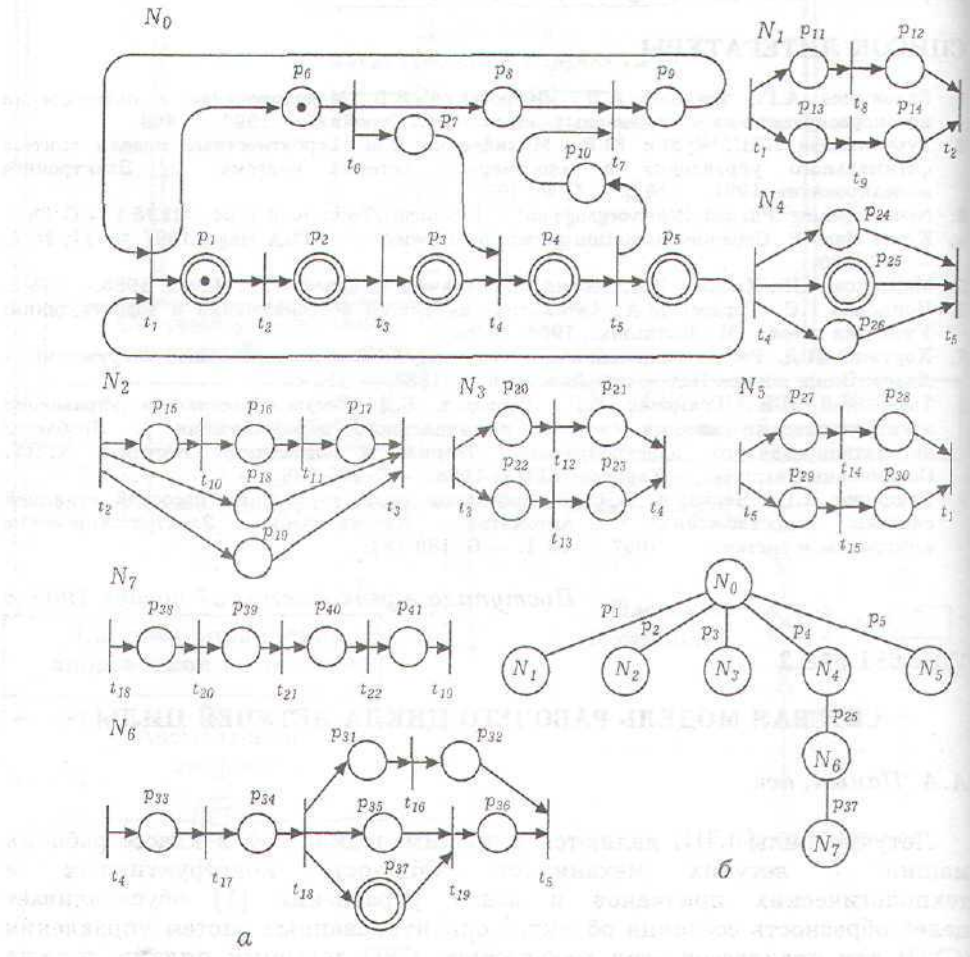


Рисунок 1

В таблицах 1 и 2 приняты следующие обозначения:  $V_1(t)$  и  $l_1(t)$  - соответственно текущие скорость движения и положение сечения реза на профиле;  $V_2(t)$ ,  $l_2(t)$  и  $F_2(t)$  - текущие скорость движения, положение НО и сила, действующая на него со стороны привода;  $l_0(t)$  - начальное положение НО (в которое он приходит к началу первого этапа);  $l_{кз0}$  и  $l_{кз0}$  - координаты начала и конца зоны обработки (выполнение операций подачи и возврата режущего инструмента, зажима и разжима профиля разрешено только при нахождении диска в этом месте профилегибочной линии, т.е. когда  $l_{кз0} \leq l_2(t) \leq l_{кз0}$ );  $l_{min}$  и  $l_{max}$  - минимальная и максимальная координаты, ограничивающие движение НО;  $l_{no\ max}$  - допустимый предел,

за который не должна выходить точка  $l_{40}$  совмещения плоскостей режущего инструмента и сечения реза, происходящего в результате выполнения операции преследования;  $F_{2\phi}$ ,  $F_{2\text{нат}}$  - значения силы, обеспечивающие соответственно выборку люфтов в приводе НО без приведения последнего в движение, незначительное натяжение движущегося профиля без его повреждения.

Таблица 1

Переход	Содержание перехода
$t_1$	Начало этапа 1
$t_2$	Начало этапа 2
$t_3$	Начало этапа 3
$t_4$	Начало этапа 4
$t_5$	Начало этапа 5
$t_6$	Сечение реза вошло в допустимые пределы для начала обработки: $l_1 = l_{H30}$
$t_7$	"Появление" нового (следующего) сечения реза: $l_1 = l_1 - L_m$
$t_8$	Окончание выборки люфтов: $F_2 = F_{2s}$
$t_9$	НО остановился: $V_2 = 0$
$t_{10}$	Закон движения рассчитан, время запуска определено
$t_{11}$	Параметры закона движения выданы в ЛСУ привода НО
$t_{12}$	Равенство скоростей достигнуто: $V_2 = V_1$
$t_{13}$	Равенство положений достигнуто: $l_2 = l_1$
$t_{14}$	НО пришел в начальное положение: $l_2 = l_0$
$t_{15}$	НО остановился (в начальном положении): $V_2 = 0$
$t_{16}$	Перевод привода НО в режим регулирования силы: $F_2 = F_{2\text{нат}}$
$t_{17}$	Зажим профиля
$t_{18}$	Переход к следующим операциям по обработке профиля
$t_{19}$	Освобождение профиля
$t_{20}$	Начало подачи режущего инструмента на рез
$t_{21}$	Режущий инструмент достиг крайнего положения и начал возвращаться
$t_{22}$	Режущий инструмент достиг исходного положения и остановился

Позиции  $p_{18}$  и  $p_{19}$ ,  $p_{24}$  и  $p_{26}$ ,  $p_{25}$ , имея сходное содержание с аналогичными позициями  $p_{12}$  и  $p_{14}$ ,  $p_{21}$  и  $p_{23}$ ,  $p_{34}$ , служат для отображения состояния НО при выполнении соответствующих операций, хотя формально они являются условиями срабатывания переходов. Аналогичное назначение имеет позиция  $p_{32}$ . В отображении состояния других исполнительных механизмов в течение всего рабочего цикла нет необходимости, т.к. МВ всегда включен, а МС и МП приводятся в действие только на 4-м этапе рабочего цикла, находясь в остальное время в исходных состояниях.

Связь переходов и позиций сети Петри с логическими переменными  $x_1, \dots, x_{19}$ , необходимыми СУО для контроля за ситуациями на ЛП поясняется в таблицах 3 и 4. Здесь срабатыванию перехода и нахождению маркера в позиции соответствует единичное значение переменной, т.е. признак. Представленные переменные сохраняют единичные значения в течение некоторого времени, однако для таблицы 3 существенным является момент изменения их значений с 0 на 1. Указанное обстоятельство также отвечает допущению для сетей Петри о мгновенном срабатывании переходов. Отмеченное в таблице 4 косвенное соответствие признака  $x_{16}$  ( $l_{n30} \leq l_2(t) \leq l_{no max}$ ) позиции  $p_7$  ( $l_{n30} \leq l_1(t) \leq l_{no max}$ ) правомерно в связи с условиями срабатывания перехода  $t_4$ , т.к. при этом соблюдается равенство  $l_2(t) = l_1(t)$  (позиция  $p_{23}$ ). Переменная  $x_{17}$  постоянно имеет единичное значение, что является признаком вращения режущего инструмента, т.к. при составлении сети было принято, что МЗ всегда включен.

Таблица 2

Позиция	Содержание позиции
$p_1$	Составная операция, этап 1 - исходное состояние ЛП, подготовка к запуску НО
$p_2$	Составная операция, этап 2 - формирование целеуказания, ожидание команды на запуск НО
$p_3$	Составная операция, этап 3 - запуск НО, отработка приводом НО целеуказания на преследование и синхронизацию НО с сечением реза на профиле
$p_4$	Составная операция, этап 4 - продолжение движения НО в направлении перемещения сечения реза, выполнение реза
$p_5$	Составная операция, этап 5 - установка НО в начальное положение, переход ЛП в новое исходное состояние
$p_6$	Сечение реза подходит к началу зоны обработки: $l_1(t) < l_{n30}$
$p_7$	Сечение реза движется в допустимых пределах для начала обработки: $l_{n30} \leq l_1(t) \leq l_{no max}$
$p_8$	Дальнейшее движение сечения реза ( $l_1(t) = V_1 \cdot t$ )
$p_9$	Движение следующего сечения реза ( $l_1(t) = V_1 \cdot t$ )
$p_{10}$	Произведено отрезание части профиля длиной $L_x$
$p_{11}$	Процесс выборки люфтов: $F_2(t) < F_{2\delta}$
$p_{12}$	Люфты выбраны: $F_2(t) = F_{2\delta}$
$p_{13}$	Скорость НО близка к нулю: $V_2(t) \neq 0$
$p_{14}$	НО неподвижен: $V_2(t) = 0$
$p_{15}$	Расчет закона движения, определение времени запуска
$p_{16}$	Выдача параметров закона движения в ЛСУ привода НО
$p_{17}$	Ожидание момента времени наступления 3-го этапа цикла
$p_{18}$	Люфты выбраны: $F_2(t) = F_{2\delta}$
$p_{19}$	НО неподвижен: $V_2(t) = 0$

Продолжение таблицы 2

$p_{20}$	НО преследует сечение реза: $V_2(t) < V_1(t)$
$p_{21}$	Сохранение равенства скоростей: $V_2(t) = V_1(t)$
$p_{22}$	НО преследует сечение реза: $l_2(t) \neq l_1(t)$
$p_{23}$	Сохранение равенства положений: $l_2(t) = l_1(t)$
$p_{24}$	Сохранение равенства скоростей: $V_2(t) = V_1(t)$
$p_{25}$	<u>Составная операция</u> , обработка профиля (порез)
$p_{26}$	Сохранение равенства положений: $l_2(t) = l_1(t)$
$p_{27}$	Движение НО в начальное положение: $l_2(t) \neq l_0$
$p_{28}$	НО находится в начальном положении: $l_2(t) = l_0(t)$
$p_{29}$	Движение НО в начальное положение: $V_2(t) \neq 0$
$p_{30}$	НО неподвижен (в начальном положении): $V_2(t) = 0$
$p_{31}$	Разрешен перевод привода НО в режим регулирования силы $F_2$
$p_{32}$	Привод НО в режиме регулирования силы: $F_2(t) = F_{2\text{нат}}$
$p_{33}$	Обработка профиля разрешена
$p_{34}$	Профиль зажат
$p_{35}$	Профиль зажат
$p_{36}$	Обработка завершена (профиль освобожден)
$p_{37}$	<u>Составная операция</u> , разрезание профиля
$p_{38}$	Разрешение подачи режущего инструмента на рез
$p_{39}$	Движение режущего инструмента на рез
$p_{40}$	Возврат режущего инструмента
$p_{41}$	Режущий инструмент находится в исходном положении

Сетевая модель дает возможность отчетливо проследить смену ситуаций в течение рабочего цикла ЛП и соответствующую ей смену значений логических переменных. Так, мы можем видеть, что переменные наблюдения  $x_1 - x_5$  имеют единичные значения только в течение соответствующих этапов (позиции  $p_1 - p_5$ ). Переменные перехода  $x_6 - x_{10}$  согласно модели изменяют свои значения в зависимости от значений переменных ситуационного анализа  $x_{11} - x_{19}$  в соответствии с уравнениями:

$$x_6 = (x_{11} \& x_{12}) \& x_{20}, \quad (1)$$

$$x_7 = (x_{13}) \& x_{21}, \quad (2)$$

$$x_8 = (x_{14} \& x_{15} \& x_{16} \& x_{17}) \& x_{22}, \quad (3)$$

$$x_9 = (\overline{x_{18}}) \& x_{23}, \quad (4)$$

$$x_{10} = (x_{19} \& x_{12}) \& x_{24}. \quad (5)$$

Данное обстоятельство наглядно отражено в модели (с учетом табл.3 и 4). В модели не представлены дополнительные переменные  $x_{20}$  -  $x_{24}$ , введенные в уравнения для учета возможных дополнительных условий формирования переменных перехода, которые могут появиться на последующих этапах разработки СУО, а также для адаптации СУО ЛП к конкретным приложениям. На данном этапе разработки СУО ЛП мы не можем оговорить законы их формирования, и поэтому все дополнительные переменные из набора  $x_{20}$  -  $x_{24}$  приняты логическими константами со значением 1.

Представленная модель, благодаря присущей ей наглядности и средствам аппарата сетей Петри, позволяет графически отобразить и исследовать рабочий цикл ЛП, а также может служить основой для построения алгоритма управления [4] как летучими пилами, так и другими летучими механизмами.

## SUMMARY

*The Petri net as the working cycle mathematical model for the shaping mill flying saw, as the class-formed flying mechanism, was considered. The correlation between the control system logic variables and the net model was showed. The net model can be the basis for the development of the object-oriented control system of the flying saws, those are the wide flying mechanisms subclass.*

## СПИСОК ЛИТЕРАТУРЫ

1. Костенко С.Н., Червяков В.Д., Паныч А.А. О задачах управления электроприводом несущего органа летучей пилы// Проблемы автоматизированного электропривода. Теория и практика: Вестник ХГПУ. Специальный выпуск. - Харьков: ХГПУ, 1998. - С.266-267.
2. Паныч А.А., Червяков В.Д. Ситуационный анализ рабочего цикла летучей пилы // Праці ІІїїї української конференції з автоматичного управління "Автоматика-98" - Ч.ІІ - Київ: Видавництво НТУУ КПІ, 1998. - С.226-230.
3. Петерсон Дж. Теория сетей Петри и моделирование систем/ Пер. с англ. - М.: Мир, 1984. - 264 с.
4. Ямпольский Л.С., Баашак З. Автоматизация проектирования и управления в гибком производстве. - К.: Техника; Варшава: Научн.-техн. изд-во, 1989. - 214 с.

Поступила в редакцию 21 декабря 1998 г.

УДК 517.17:518.25

## АНАЛІЗ РЕНТГЕНІВСЬКИХ СПЕКТРІВ ПРИ ЕНЕРГОДИСПЕРСІЙНІЙ СПЕКТРОГРАФІЇ

А.В.Черниш, асп.

### ВСТУП

Одним з актуальних напрямків автоматизації електронно-зондового мікроаналізу є застосування сучасних інтелектуальних комп'ютерних

Таблица 3

Признак	Переход
$x_{10}$	$t_1$
$x_6$	$t_2$
$x_7, x_{13}$	$t_3$
$x_8$	$t_4$
$x_9$	$t_5$

Таблица 4

Признак	Позиция
$x_1$	$p_1$
$x_2$	$p_2$
$x_3$	$p_3$
$x_4$	$p_4$
$x_5$	$p_5$
$x_{11}$	$p_{12}, p_{18}$
$x_{12}$	$p_{14}, p_{19}, p_{30}$
$x_{14}$	$p_{21}, p_{24}$
$x_{15}$	$p_{23}, p_{26}$
$x_{16}$	$p_7$ (косвенно)
$x_{17}$	нет (МВ всегда вкл.)
$x_{18}$	$p_{36}$
$x_{19}$	$p_{28}$